

求めた初期状態量を用いて、さらに伝達計算を行うことにより任意の断面での状態量（振動モード）が求められる。

3.数値計算結果及び考察

1)本解析法の妥当性の検討

本研究で開発した解析法の妥当性を検討するため、C型、箱型及びI型断面部材の解析を行った。図-4～6にC型、箱型及びI型断面部材（図-3, $t_2/t_1=1.0, 2.0$ ）の1～5次の固有振動パラメータ ($\Omega = 2\omega b^2 / \pi t / 12(1-\nu^2) \rho / E$)、x方向モード数及び振動モードを示している。なお本数値計算では $a/H=5.0$ 、ポアソン比 $\nu=0.3$ としている。図-4に示すC型断面部材においては、いずれの場合もかなり大きな断面変形が生じている。板厚比 $t_2/t_1=2.0$ に対する4及び5次の固有振動数は $t_2/t_1=1.0$ に対して大きくなっているが1～3次の固有振動数は逆に小さくなっている。これは1～3次においては、 t_2/t_1 の増加による剛性の増加が質量の増加に比較して小さいためと思われる。なおC型断面部材においては $t_2/t_1=1.0$ 及び2.0での振動モードの順序に変化は生じていない。箱型断面部材（図-5）においては、 $t_2/t_1=1.0$ に対する4、5次及び $t_2/t_1=2.0$ に対する5次の固有振動数は薄肉断面部材を構成する板パネルの局部的変形を示している。また4、5次において $t_2/t_1=1.0$ 及び2.0の間で振動モードの順序が逆転している。図-6に示すI型断面部材においては、3～5次において $t_2/t_1=1.0$ 及び2.0の間での振動モードの順序に変化が生じており、また $t_2/t_1=1.0$ の5次に対応する固有振動数を除いて t_2/t_1 の増加により固有振動数が増大している。なお、本解析法によるx方向モード数 $m=1$ での $t_2/t_1=1.0$ に対する固有振動数はいずれの部材においてもFSMによる解¹⁾と非常に良く一致している。

4.あとがき

本解析法を用いることにより、薄肉断面部材の固有振動数が極めて少ない变数（通常8個）及び計算量により精度良く求められる。また本研究で示したような薄肉断面部材の振動モードはこれらの部材の複雑な振動特性を明らかにするのに有効であると思われる。

参考文献

- 岡村、深沢：鋼薄肉断面ばりの固有振動モード解析、第46回年講、pp998-999、1991

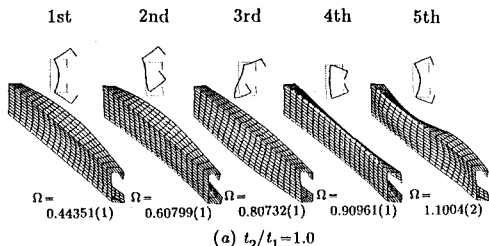
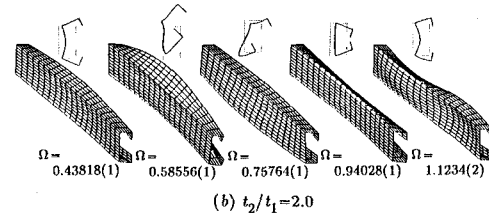
(a) $t_2/t_1=1.0$ (b) $t_2/t_1=2.0$

図-4 固有振動数及び振動モード（C型）

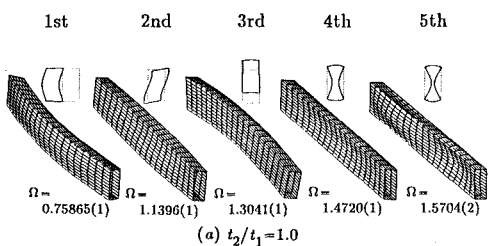
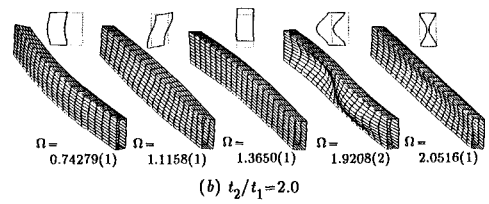
(a) $t_2/t_1=1.0$ (b) $t_2/t_1=2.0$

図-5 固有振動数及び振動モード（箱型）

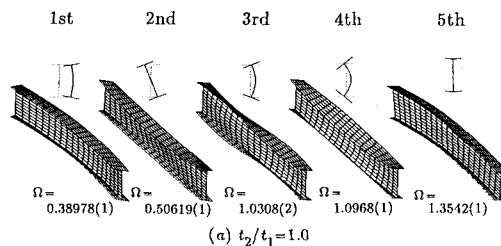
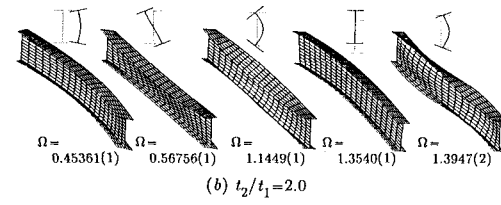
(a) $t_2/t_1=1.0$ (b) $t_2/t_1=2.0$

図-6 固有振動数及び振動モード（I型）